

10. Тычинский В. П. Мощные газовые лазеры.— УФН, 1967, т. 91, № 3.
 11. Бычков Ю. И., Кудряшов В. П. и др. Влияние параметров активной среды на энергию излучения электроразрядного CO₂-лазера.— Квант. электроника, 1976, т. 3, № 7.

УДК 533.6.011.72+536.14

К ВОПРОСУ ОБ ОПРЕДЕЛЕНИИ ВРЕМЕН РЕЛАКСАЦИИ ПРИ КИНЕТИЧЕСКОМ ОХЛАЖДЕНИИ ДВИЖУЩЕГОСЯ ГАЗА

A. M. Старик

(Москва)

Поглощение газом резонансного излучения может приводить к уменьшению его поступательной температуры [1, 2]. Экспериментально этот эффект был зарегистрирован при поглощении лазерного излучения с длиной волны $\lambda = 10,6 \text{ мкм}$ в газах, содержащих молекулы CO₂ [3, 4]. Время существования эффекта кинетического охлаждения при импульсном воздействии на среду определяется, по существу, временем колебательно-колебательной ($V - V'$) релаксации верхнего уровня поглощающего перехода (00¹ для CO₂), а глубина охлаждения — временем колебательно-поступательной ($V - T$) релаксации нижнего уровня (10⁰). Поэтому по глубине охлаждения можно судить о времени $V - T$ -релаксации [4].

Воздействие на среду, движущуюся с заданной скоростью, непрерывного резонансного излучения, как будет показано ниже, может также приводить к изменению поступательной температуры и других макроскопических параметров течения. В данной работе исследуется возможность определения характерных времен как $V - T$, так и внутримолекулярных и межмолекулярных $V - V'$ -процессов по изменению газодинамических параметров потока в зоне воздействия излучения.

Движение среды при наличии поля излучения, интенсивность которого не меняется во времени ($I = \text{const}$), будем рассматривать в приближении невязкого, нетеплопроводного газа. Будем также полагать, что распределение вращательной энергии характеризуется поступательной температурой, а в каждом типе колебаний, моделируем гармоническим осциллятором, существует локальное термодинамическое равновесие с некоторой колебательной температурой.

Уравнения движения такой среды в канале постоянного сечения в нормальной форме имеют вид

$$(1) \quad \begin{aligned} \frac{dT}{dx} &= \frac{1 - \kappa M_a^2}{(1 - M_a^2) C_p} J, \quad \frac{du}{dx} = \frac{(\kappa - 1) M_a^2}{(1 - M_a^2) u} J, \\ \frac{dp}{dx} &= -\frac{\rho (\kappa - 1) M_a^2}{(1 - M_a^2)} J, \quad \frac{d\rho}{dx} = -\frac{\kappa p (\kappa - 1)}{(1 - M_a^2)} J, \\ J &= \frac{k_v T}{\rho u} - \sum_{i=1}^M \frac{de_V^i}{dx}, \quad C_p = \frac{R}{\mu} \left(\frac{5}{2} + \sum_{i=1}^L \gamma_i + \frac{3}{2} \sum_{i=L+1}^M \gamma_i \right), \\ \kappa &= 1 + \left(\frac{3}{2} + \sum_{i=1}^L \gamma_i + \frac{3}{2} \sum_{i=L+1}^M \gamma_i \right)^{-1}, \quad M_a = \sqrt{\frac{u}{\kappa \frac{R}{\mu} T}}, \quad e_V^i = \gamma_i \sum_{j=1}^n \frac{\Theta_{ij} R}{\mu} \varepsilon_{j,i} \end{aligned}$$

где ρ , p , T , u — плотность, давление, поступательная температура и скорость газа; μ — молекулярный вес смеси; k_v — спектральный показатель поглощения; γ_i — молярная доля i -го компонента в смеси; M — полное число молекулярных компонентов в смеси, а L — их число из линейных жестких молекул; n — число типов колебаний в i -м компоненте; $\varepsilon_j = g_j [\exp(\Theta_j/T_j) - 1]^{-1}$; Θ_j и T_j — характеристическая и локальная колебательные температуры в j -м типе колебаний, а g_j — его кратность вырождения.

Рассмотрим течение бинарной смеси, один компонент которой состоит из молекул, обладающих, по крайней мере, двумя типами колебаний

q и s , с неодинаковыми временами релаксации и не связанные резонансом, а другой из молекул, один из типов колебаний которых p связан быстрым нерезонансным $V - V'$ -обменом с модой s , а остальные типы колебаний являются медленнорелаксирующими. Пусть также частота излучения $\nu_{mn} = (n\Theta_s - m\Theta_q)/h$ (n и m — номера верхнего и нижнего колебательных уровней поглощающего перехода, принадлежащих модам s и q соответственно). Систему кинетических уравнений в этом случае можно представить в виде

$$(2) \quad \frac{d\varepsilon_q}{dx} = \frac{p}{kT} \left[-l_q \frac{\mu^2 k_v I}{\rho^2 N_A^2 h \nu_{mn} \gamma_h} - \right.$$

$$\left. - (\varepsilon_q - \varepsilon_{q0}) \sum_{i=1}^M W_{qi}^i \gamma_i + \frac{l_q}{g_q} L_{qs} \sum_{i=1}^M W_{qi}^i \gamma_i \right];$$

$$(3) \quad \frac{d\varepsilon_s}{dx} = \frac{p}{kT} \left[l_s \frac{\mu^2 k_v I}{\rho^2 N_A^2 h \nu_{mn} \gamma_h} - \frac{l_s}{g_s} L_{qs} \sum_{i=1}^M W_{qi}^i \gamma_i + \frac{l_s}{g_s} L_{sp} W_{sp} \gamma_p \right];$$

$$(4) \quad \frac{d\varepsilon_p}{dx} = \frac{p}{kT} \left[-\frac{l_p}{g_p} L_{sp} W_{sp} \gamma_h \right],$$

$$L_{sp} = \left[\varepsilon_p^{l_p} (\varepsilon_s + 1)^{l_s} \exp \left(\frac{\Theta_p - \Theta_s}{T} \right) - (\varepsilon_p + 1)^{l_p} \varepsilon_s^{l_s} \right],$$

где W_{qi}^i — скорость внутримолекулярного $V - V'$ -обмена между модами q и s при столкновении с i -м партнером; W_{sp} — скорость межмолекулярного $V - V'$ -обмена между модами s и p ; l_s , l_q и l_p — количество колебательных квантов, теряемых модами s или p и приобретаемых модой q при $V - V'$ -обмене; W_{q0}^i — скорость $V - T$ -релаксации для моды q при столкновении с i -м партнером; h — постоянная Планка; N_A — число Авогадро; ν_{mn} — частота поглощающего перехода в центре спектральной линии; γ_h и γ_p — молярные доли поглощающего компонента и компонента, содержащего колебания типа p ; k — постоянная Больцмана.

Учитывая (2)–(4), выражение для J можно представить в виде

$$(5) \quad J = \frac{R\rho\Theta_q}{\mu kT u} \gamma_h \sum_{i=1}^M W_{qi}^i \gamma_i \left[\varepsilon_q - \varepsilon_{q0} + L_{qs} \left(\frac{l_s}{g_s} \frac{\Theta_s}{\Theta_q} - \frac{l_q}{g_q} \right) \times \right.$$

$$\left. \times \sum_{i=1}^M \frac{W_{qi}^i}{W_{q0}^i} \gamma_i + L_{sp} \frac{\Theta_p}{\Theta_s} \frac{W_{sp} \gamma_p}{\sum_{i=1}^M W_{qi}^i \gamma_i} \left(\frac{l_p}{g_p} - \frac{\Theta_p}{\Theta_s} \frac{l_s}{g_s} \right) \right].$$

Если $J < 0$, то при $0 < M_a < 1/V\chi$ газ будет охлаждаться и тормозиться ($dT/dx < 0$, $du/dx < 0$, $d\rho/dx > 0$, $dp/dx > 0$), при $1/V\chi < M_a < 1$ — нагреваться и тормозиться ($dT/dx > 0$, $du/dx < 0$, $d\rho/dx > 0$, $dp/dx > 0$), а при $M_a > 1$ — охлаждаться и ускоряться ($dT/dx < 0$, $du/dx > 0$, $d\rho/dx < 0$, $dp/dx < 0$). Если же $J > 0$, то при $0 < M_a < 1/V\chi$ $dT/dx > 0$, $du/dx > 0$, $d\rho/dx < 0$, $dp/dx < 0$, при $1/V\chi < M_a < 1$ $dT/dx < 0$, $du/dx > 0$, $d\rho/dx < 0$, $dp/dx < 0$, а при $M_a > 1$ $dT/dx > 0$, $du/dx < 0$, $d\rho/dx > 0$, $dp/dx > 0$. При $J = 0$ газодинамические параметры в зоне поглощения меняться не будут.

Рассмотренные закономерности изменения макроскопических параметров позволяют определить времена релаксации для $V - T$ - и $V - V'$ -процессов в рассматриваемой смеси при поглощении резонансного излучения постоянной интенсивности.

Действительно, пусть сначала по каналу постоянного сечения течет газ, состоящий только из поглощающего компонента ($\gamma_k = 1$), $\varepsilon_j = \varepsilon_{j_0}$ ($j = q, s$) и $\tau_{V-T}^{q0} < \tau_{V-V'}^{qs}$ (τ_{V-T}^{q0} и $\tau_{V-V'}^{qs}$ — характерные времена $V - T$ - и внутримолекулярного $V - V'$ -обмена). Для определенности предположим, что $0 < M_a < 1/\sqrt{\kappa}$. В этом случае вследствие индуцированных переходов молекул с уровня m на уровень n $d\varepsilon_q/dx < 0$, и в результате обмена энергией между поступательным хаотическим движением молекул смеси и модой q возникает поток энергии из поступательных степеней свободы в колебательные, т. е. $J < 0$. Если бы $\tau_{V-V'}^{qs} = \infty$, то при заданной интенсивности I изменение газодинамических параметров в зоне поглощения происходило бы вплоть до $x = l_*$, где l_* отвечает сечению, в котором выполняется равенство

$$(6) \quad I = \frac{|\varepsilon_{q0} - \varepsilon_q| W_{q0}^h \gamma_k}{\mu^2 k_V} \rho^2 N_A^2 h v_{mn} \gamma_k.$$

При $x > l_*$ наступает насыщение поглощающего перехода ($y_n = y_m = \frac{y_n^0 + y_m^0}{2}$, где y_n и y_m — относительные заселенности уровней n и m , а y_n^0 и y_m^0 — их равновесные значения). Таким образом, изменяя величину интенсивности, можно уменьшать или увеличивать длину зоны изменения макроскопических параметров потока (p, T, ρ, u). Поскольку I однозначно связана соотношением (6) с W_{q0}^h , то по величине l_* можно судить о времени (τ_{V-T}^{q0}) $V - T$ -релаксации ($W = kT/p\tau$). Увеличивая интенсивность излучения, всегда можно добиться условия $l_* < l_{V-V'}^{qs}$, $\left(l_{V-V'}^{qs} = \tau_{V-V'}^{qs} \int_0^{l_*} u dx / l_* \right)$.

При $x > l_{V-V'}^{qs}$ появляется поток колебательных квантов из моды s в моду q , величина которого при $\varepsilon_q > \varepsilon_{q0} - L_{qs} \left(\frac{\Theta_s}{\Theta_q} \frac{l_s}{g_s} - \frac{l_q}{g_q} \right) \frac{W_{sq}^h}{W_{q0}^h} \times \gamma_k$ ($L_{qs} > 0$) больше потока колебательных квантов из моды q в моду s вследствие индуцированных переходов.

При этом $J > 0$ и знак производных $dT/dx, dp/dx, du/dx, d\rho/dx$ меняется на противоположный. Поэтому по изменению экспериментально измеренного профиля T, p, ρ, u или их производных в зоне поглощения можно судить также и о времени внутримолекулярного $V - V'$ -обмена $\tau_{V-V'}^{sq}$.

При наличии в потоке примесного газа ситуация несколько усложняется. Пусть $\tau_{V-T}^{q0} < \tau_{V-V'}^{qs}$ и, кроме того, $\left(\frac{l_p}{g_p} - \frac{\Theta_s}{\Theta_p} \frac{l_s}{g_s} \right) < 0$, в этом случае поток колебательных квантов из моды s в моду p компенсирует увеличение ε_q в результате внутримолекулярного $V - V'$ -обмена. Если при этом выполняется равенство

$$\begin{aligned} \varepsilon_q = \varepsilon_{q0} + L_{sp} \frac{\Theta_p}{\Theta_q} \frac{W_{sp} \gamma_p}{\sum_{i=1}^M W_{q0}^i \gamma_i} \left(\frac{l_p}{g_p} - \frac{\Theta_s}{\Theta_p} \frac{l_s}{g_s} \right) + \\ + L_{qs} \sum_{i=1}^M \frac{W_{qs}^i \gamma_i}{W_{q0}^i} \left(\frac{l_s}{g_s} \frac{\Theta_s}{\Theta_q} - \frac{l_q}{g_q} \right), \end{aligned}$$

а $L_{sp} > 0$ и $L_{qs} > 0$, то $J = 0$ и изменения макроскопических параметров при $x > l_*$ происходить не будет, а может даже возникнуть ситуация, когда $\varepsilon_q < \varepsilon_{q0} + L_{sp} \frac{\Theta_p}{\Theta_q} \frac{W_{sp} \gamma_p}{\sum_{i=1}^M W_{q0}^i \gamma_i} \left(\frac{l_p}{g_p} - \frac{l_s}{g_s} \frac{\Theta_s}{\Theta_p} \right) + L_{qs} \sum_{i=1}^M \frac{W_{qs}^i \gamma_i}{W_{q0}^i \gamma_i} \times$

$\times \left(\frac{l_s}{g_s} \frac{\Theta_s}{G_a} - \frac{l_q}{g_q} \right)$ и газ в зоне воздействия излучения будет все равно охлаждаться и тормозиться, несмотря на поток энергии в моду q , обусловленный внутримолекулярным $V - V'$ -обменом.

Если же $\left(\frac{l_p}{g_p} - \frac{i_s \Theta_s}{g_s \Theta_p} \right) > 0$, то при $L_{sp} > 0$ и $L_{qs} > 0$ поток колебательных квантов в моду q возрастет, при этом $J > 0$, а $|J|$ большие соответствующего значения $|J|$ при действии только одного внутримолекулярного $V - V'$ -обмена между модами q и s .

Таким образом, введение в поток примесного газа, молекулы которого обладают колебаниями типа p , позволяет изменить характер воздействия излучения на поток, а следовательно, и закон изменения макроскопических параметров в зоне поглощения. Сравнивая экспериментальные профили T , p , ρ , u в зоне поглощения при течении газа, состоящего только из молекул поглощающего компонента, и смеси, содержащей также молекулы примесного газа ($\gamma_p \neq 0$), при известных значениях W_{q0}^i , W_{qs}^i , Θ_s и Θ_p можно определить величину W_{ps} и время межмолекулярного $V - V'$ -обмена между модами p и s .

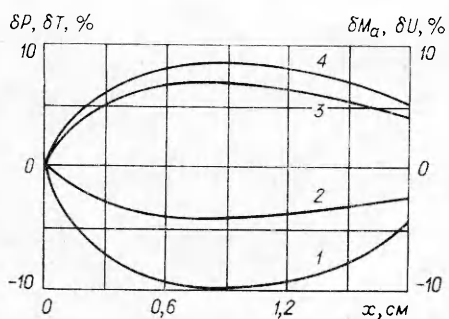
Рассмотрим теперь условия, при которых реализуются максимальные градиенты макроскопических параметров в зоне поглощения и которые являются оптимальными для измерения профилей T , p , ρ , u в зоне воздействия излучения. Линеаризация уравнений системы (1) по параметру $\delta = \sum_{i=1}^M l_V^i / H$ (впервые этот параметр был введен в [5]), где H — полная эпикальпия газа, позволяет получить следующие решения для относительного изменения макроскопических параметров в зоне поглощения:

$$(7) \quad \begin{aligned} \delta T &= \frac{T - T_0}{T_0} = \frac{1 - \kappa M_a^2}{C_p T_0 (1 - M_a^2)} J', \\ \delta p &= \frac{p - p_0}{p_0} = - \frac{\rho_0 (\kappa - 1) M_a^2}{p_0 (1 - M_a^2)} J', \\ \delta \rho &= \frac{\rho - \rho_0}{\rho_0} = - \frac{p_0 (\kappa - 1) \kappa}{(1 - M_a^2) \rho_0} J', \\ \delta u &= \frac{u - u_0}{u_0} = \frac{M_a^2 (\kappa - 1)}{u_0^2 (1 - M_a^2)} J', \quad J' = \int_0^x J dx. \end{aligned}$$

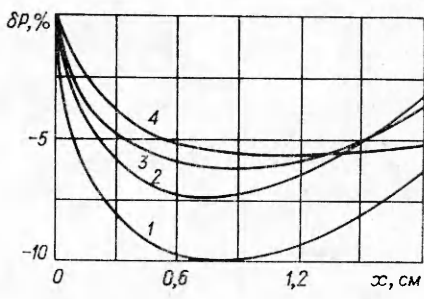
Здесь T_0 , p_0 , ρ_0 , u_0 — макроскопические параметры невозмущенного потока.

Из (7) видно, что максимальные значения δT , δp , $\delta \rho$, δu будут достигаться при $M_a = 1 \pm \varepsilon$, где ε — малая величина ($\varepsilon > 0$). При $M_a \rightarrow 0$ $\delta p \rightarrow 0$, $\delta u \rightarrow 0$, $\delta \rho \rightarrow \frac{p_0}{\rho_0} \kappa (1 - \kappa) |J'|$, $\delta T \rightarrow - \frac{|J'|}{C_p T_0}$, а при $M_a \rightarrow \infty$ $\delta p \rightarrow \frac{p_0 (1 - \kappa) |J'|}{p_0}$, $\delta T \rightarrow - \frac{\kappa |J'|}{C_p T_0}$, $\delta \rho \rightarrow 0$, $\delta u \rightarrow \frac{(\kappa - 1) |J'|}{u_0^2}$, т. е. при сверхзвуковой скорости течения изменение температуры и скорости больше, чем при дозвуковой ($0 < M_a < 1/\sqrt{\kappa}$). Плотность же, наоборот, сильнее изменяется при дозвуковой скорости потока. Заметим, что при $M_a = 1/\sqrt{\kappa}$ поступательная температура газа не меняется, несмотря на обмен энергией между поступательным и колебательным движением молекул смеси.

Для иллюстрации полученных результатов рассмотрим течение конкретных газов, например N_2O и смеси N_2O-N_2 в поле излучения с частотой $v_{mn} = 917,4 \text{ см}^{-1}$, которая резонансна частоте перехода $P20[00^01 \rightarrow 10^00]$ в молекуле N_2O . Численное интегрирование полной системы урав-



Ф и г. 1



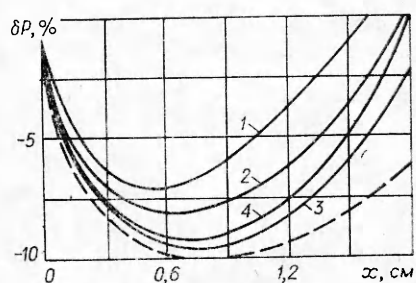
Ф и г. 2

пений газовой динамики и колебательной кинетики проводилось, как и в [6], с использованием неявной разностной схемы второго порядка точности. Релаксационная схема процессов в смеси N_2O-N_2 и соответствующие ей вероятности элементарных процессов были взяты такими же, как и в [7].

Спектральный показатель усиления рассчитывался по стандартным соотношениям [8]. При этом величины коэффициента Эйнштейна A_{mn} и сечений ударного уширения σ_{N_2O-i} в соответствии с [9] принимались равными: $A_{mn} = 0,278 \text{ с}^{-1}$, $\sigma_{N_2O-N_2} = 7 \cdot 10^{-15} \text{ см}^2$, $\sigma_{N_2O-N_2} = 7,7 \cdot 10^{-15} \text{ см}^2$. На фиг. 1 представлены результаты расчета изменения макроскопических параметров в зоне поглощения при течении закиси азота с начальными параметрами: $T_0 = 1000 \text{ К}$; $p_0 = 0,002 \text{ МПа}$, $M_0 = 1,02$ в поле излучения с $I = 2 \text{ кВт/см}^2$. Кривые 1—4 показывают изменение давления, температуры, скорости и числа Маха, определенного по «замороженной» скорости звука. Из представленных распределений видно, что максимальное изменение при энерговыделении (или при энергопоглощении) характерно для статистического давления. При рассматриваемых условиях $(\delta p)_{\max} = 10\%$. Такая величина δp легко может быть зарегистрирована в эксперименте. Ясно видны также области с различным знаком градиента макроскопических параметров, в которых происходит охлаждение ($V - T$ -обмен) и нагрев газа ($V - V'$ -обмен).

Введение примесного газа (в данном случае N_2) приводит к существенному изменению профиля макроскопических параметров в зоне поглощения. Наибольшее изменение градиентов p , T , u и ρ при этом характерно для области нагрева, где поток энергии в поступательные степени свободы движения молекул с верхнего уровня поглощающего перехода (001) N_2O уменьшается вследствие эффективного стока энергии асимметричных колебаний в «холодный резервуар», каковым являются невозбужденные молекулы N_2 . Это видно на фиг. 2, где показано изменение величины δp по длине зоны поглощения при течении смеси N_2O-N_2 с различным содержанием N_2 (кривые 1—4 соответствуют $\gamma_{N_2} = 0; 0,2; 0,4$ и $0,6$).

Для оценки чувствительности предлагаемого метода определения времен релаксации проведены расчеты течения закиси азота при различных значениях скоростей $V - T$ - и $V - V'$ -процессов. Результаты этих расчетов представлены на фиг. 3 (параметры невозмущенного потока такие же, как и в предыдущем случае). Здесь цифры 1, 2 соответствуют кривым изменения давления, полученным при увеличении скорости $V - T$ -релаксации для деформационной моды молекулы N_2O соответственно в 1,5 и 2 раза; а цифры 3, 4 — при увеличении скорости внутри-



Ф и г. 3

молекулярного $V - V'$ -обмена также в 1,5 и 2 раза. Штриховой кривой показано изменение δr при нормальных скоростях $V - T$ - и $V - V'$ -процессов. Видно, что изменение скорости $V - T$ - или $V - V'$ -обмена на 50% приводит к существенному изменению и профиля макроскопических параметров (например, давления) в зоне поглощения (максимальное отличие δr при этом может достигать 7,5%).

Таким образом, из представленных результатов следует, что характер изменения макроскопических параметров движущегося газа в зоне поглощения резонансного излучения существенно зависит от величины скоростей $V - T$ - и $V - V'$ -процессов, что позволяет по экспериментально измеренному профилю давления, скорости или температуры в зоне поглощения определять характерные времена $V - T$ - и $V - V'$ -обмена.

Автор благодарит В. М. Хайлова за полезные обсуждения материалов работы.

Поступила 19 II 1981

ЛИТЕРАТУРА

1. Wood A. D., Samac M., Gerry F. T. Effects of 10,6 μ laser induced air chemistry on the atmospheric refractive index.— Appl. Optics., 1971, vol. 10, p. 1877.
2. Гордиец Б. Ф., Осипов А. И., Хохлов Р. В. Об охлаждении газа при прохождении мощного излучения CO₂-лазера через атмосферу.— ЖТФ, 1974, т. 44, № 5.
3. Gebhardt F. G., Smith D. C. Kinetic cooling of a gas by absorption of CO₂ laser radiation.— Appl. Phys. Lett., 1972, vol. 20, p. 129.
4. Гордиенко В. М., Горшков В. А. и др. Кинетическое охлаждение газов CO₂—N₂ излучением CO₂-лазера.— ЖЭТФ, 1977, т. 13, вып. 3.
5. Жигулов В. И. Об эффекте релаксационного пограничного слоя.— ДАН СССР, 1962, т. 144, № 6.
6. Левин В. А., Старик А. М. О некоторых методах получения инверсной за- селенности по колебательным уровням молекулы H₂O.— В кн.: Неравновесные течения газа с физико-химическими превращениями. М.: изд. МГУ, 1980.
7. Бирюков А. С., Сериков Р. И., Старик А. М. Влияние слабых возмущений на показатель усиления газодинамического лазера.— Квант. электроника, 1979, т. 6, № 5.
8. Лосев С. А. Газодинамические лазеры. М.: Наука, 1977.
9. Dieu N., Kap T., Wolga G. G-10-laser parameters for the 10,8 μ N₂O molecular la- ser.— IEEE J. Quant. Electron., 1968, vol. 4, N 11.

УДК 532.527

РАСПРОСТРАНЕНИЕ ВИХРЕВЫХ КОЛЕЦ В НЕОДНОРОДНОЙ ПО ПЛОТНОСТИ ЖИДКОСТИ

B. И. Бояринцев, A. И. Леонтьев,
С. Я. Секерж-Зенькович, B. И. Сысоев

(Москва)

Исследование закономерностей распространения вихревых колец в однородных газах и жидкостях посвящено большое количество теоретических и экспериментальных работ (см., например, [1—5]). Значительно меньшее внимание уделяется вопросам распространения вихревых колец в средах, неоднородных по плотности, в частности в средах со скачками плотности. Между тем в этих случаях имеет место целый ряд специфических свойств движения вихревых колец [6—10].

В данной работе исследуются особенности распространения вихревых колец в жидкостях со скачками плотности.

Эксперименты проводились на гидродинамическом стенде, схема которого представлена на фиг. 1. На одной из стенок кюветы 1, изготовленной из оргстекла и имеющей размеры 1500×500×300 мм, устанавливался генератор вихрей 2, в верхней части которого расположен ударный механизм в виде мембранны 3 и электромагнита 4, а в нижней (цилиндрической) части — сопловой насадок 5. Электромагнит через трансформатор